



การสังเคราะห์และศึกษาลักษณะของโครงค้ำยันคอลลาเจนที่สกัดจากหนังสุกรผสมไฮดรอกซีอะพาไทต์

สุกันธา เพ็อกนาโพธิ์ ท.บ.¹

ฉันทวัฒน์ สุทธิบุณยพันธ์ ท.บ., Cert. in Endodontics, M.S., อ.ท. (วิทยาเอ็นโดดอนต์)²

สมพร สวัสดิสรรพ์ ท.บ., Cert. in Pathology, Ph.D.³

¹นิสิตบัณฑิตศึกษา ภาควิชาทันตกรรมหัตถการ คณะทันตแพทยศาสตร์ จุฬาลงกรณ์มหาวิทยาลัย

²ภาควิชาทันตกรรมหัตถการ คณะทันตแพทยศาสตร์ จุฬาลงกรณ์มหาวิทยาลัย

³ภาควิชาทันตพยาธิวิทยา คณะทันตแพทยศาสตร์ จุฬาลงกรณ์มหาวิทยาลัย

บทคัดย่อ

วัตถุประสงค์ เพื่อสังเคราะห์และศึกษาลักษณะของโครงค้ำยันคอลลาเจนที่สกัดจากหนังสุกรผสมไฮดรอกซีอะพาไทต์ สำหรับการนำไปใช้เป็นโครงค้ำยันในการซักน้ำให้เกิดการซ่อมแซมกระดูก

วัสดุและวิธีการ คอลลาเจนที่ใช้ในการเตรียมโครงค้ำยันในการศึกษานี้ สกัดได้จากการละลายหนังสุกรในกรดรวมกับเอนไซม์ และแตกตะกอนด้วยเกลือ นำคอลลาเจนที่สกัดได้มาทำเป็นสารละลายที่มีความเข้มข้น ร้อยละ 1.5 ร้อยละ 2 และร้อยละ 2.5 โดยน้ำหนักตามลำดับ และผสมเข้ากับผลึกไฮดรอกซีอะพาไทต์ ในอัตราส่วนไฮดรอกซีอะพาไทต์ต่อสารละลายคอลลาเจน 1:10 (น้ำหนักต่อปริมาตร) สารผสมของคอลลาเจนและไฮดรอกซีอะพาไทต์ถูกทำให้เป็นโครงค้ำยันที่มีลักษณะคล้ายฟองน้ำด้วยการแข็งแข็งและอบแห้งเยิ้งเยิ้งเป็นเวลา 24 ชั่วโมง โดยใช้อุณหภูมิในการแข็งแข็งแตกต่างกัน 2 กลุ่ม คือ กลุ่มที่ทำให้อุณหภูมิแข็งแข็งต่ำลงอย่างช้าๆ และกลุ่มที่ทำให้อุณหภูมิแข็งแข็งต่ำลงอย่างรวดเร็ว จากนั้นทำให้โครงค้ำยันคอลลาเจนคงตัวด้วยการทำปฏิกิริยาเชื่อมขาวงศึกษาลักษณะโครงสร้างโดยละเอียดของโครงค้ำยันคอลลาเจนที่สังเคราะห์ภายใต้สภาวะแตกต่างกันด้วยกล้องจุลทรรศน์อิเล็กตรอนชนิดส่องภาพ และศึกษาขนาดของรูปทรงด้วยกล้องจุลทรรศน์ชนิดแสงขาว วิเคราะห์ความแตกต่างของขนาดรูปทรงด้วยวิธีการทางสถิติ

ผลการศึกษา โครงค้ำยันคอลลาเจนที่สังเคราะห์ขึ้นด้วยวิธีการดังกล่าว มีลักษณะคล้ายฟองน้ำ กดนิ่ม สีขาวไม่มีกลิ่นและละลายน้ำได้อย่างรวดเร็ว และเมื่อผ่านการทำปฏิกิริยาเชื่อมขาวแล้ว โครงค้ำยันมีความคงตัวมากขึ้น จากการศึกษาด้วยกล้องจุลทรรศน์อิเล็กตรอนชนิดส่องภาพพบว่าโครงค้ำยันมีลักษณะเป็นรูปrun ประกอบด้วยแผ่นที่เกิดจากการอัดแน่นของเส้นใยคอลลาเจนจำนวนมากกันไปมา โดยมีผลึกของไฮดรอกซีอะพาไทต์ติดอยู่ที่ผนังของรูปrunเหล่านี้ จากการศึกษาเบรย์เบรย์ที่ยกลักษณะของโครงค้ำยันที่เตรียมภายใต้สภาวะที่แตกต่างกัน พบว่าโครงค้ำยันที่ผลิตจากคอลลาเจนที่มีความเข้มข้นแตกต่างกัน มีค่าเฉลี่ยของขนาดรูปrunไม่

แตกต่างกัน ($p > 0.05$) ในขณะที่โครงค้ำยันที่ผลิตจากคลอลาเจนที่มีความเข้มข้นเดียวกัน แต่เตรียมภายใต้สภาวะแข็งต่างกัน มีขนาดของรูป/run แตกต่างกันอย่างมีนัยสำคัญทางสถิติ ($p < 0.05$) กล่าวคือ โครงค้ำยันที่ใช้อุณหภูมิแข็งต่างลงอย่างช้าๆ ขนาดเฉลี่ยของรูป/run ในญี่ปุ่นกว่าโครงค้ำยันที่ใช้อุณหภูมิแข็งต่างลงอย่างรวดเร็ว

สรุป คลอลาเจนที่สักได้จากหนังสุกร เมื่อนำไปผสมกับไฮดรอกซีอะพาไทต์ สามารถนำไปผลิตเป็นโครงค้ำยันที่คงตัวได้ด้วยวิธีอบแห้งเยือกแข็งร่วมกับการทำปฏิกิริยาเชื่อมขาว โดยลักษณะและขนาดของรูป/run โครงค้ำยันคลอลาเจนผสมไฮดรอกซีอะพาไทต์ มีความสัมพันธ์กับความเร็วในการลดต่างลงของอุณหภูมิในการแข็ง แต่ไม่สัมพันธ์กับความเข้มข้นของสารละลายคลอลาเจนที่ใช้ในการลังเคราะห์

(วันที่ 2555;35:1-14)

คำสำคัญ: โครงค้ำยัน; คลอลาเจนจากหนังสุกร; วิศวกรรมเนื้อเยื่อ; ไฮดรอกซีอะพาไทต์

บทนำ

กระบวนการซ่อมแซมบาดแผลที่เกิดขึ้นกับกระดูก อาจเกิดได้ในลักษณะของการซ่อมแซมด้วยเนื้อเยื่ออี้ดต่อ (repair by connective tissue) หรือซ่อมแซมด้วยเนื้อเยื่อกระดูกทั้งนี้ขึ้นกับชนิดของเซลล์ที่เคลื่อนเข้ามาในบริเวณที่เนื้อเยื่อถูกทำลายได้เร็วที่สุด โดยปกติแล้วเซลล์ของเนื้อเยื่อี้ดต่อ มักเคลื่อนมากยังตำแหน่งที่เป็นบาดแผลได้เร็วกว่าเซลล์ชนิดอื่น และทำให้เกิดการซ่อมแซมบาดแผลด้วยเนื้อเยื่อี้ดต่อหรือเนื้อเยื่อไฟเบอร์ส (fibrous tissue) ซึ่งการหายของแผลในลักษณะนี้ เมื่อเกิดการติดเชื้อขึ้นจะเกิดการทำลายอย่างรวดเร็ว² ด้วยเหตุดังกล่าวจึงได้มีการพัฒนาวิธีการรักษาบาดแผลที่เกิดขึ้นกับกระดูกหลายวิธี เช่น การปลูกกระดูกโดยใช้กระดูกจากตัวผู้ป่วยเอง หรือกระดูกที่สังเคราะห์จากสิ่งมีชีวิตชนิดอื่น การปลูกกระดูกร่วมกับการใช้แผ่นเยื่อหางกัน (barrier membrane) เพื่อขัดขวางเซลล์ของเนื้อเยื่อี้ดต่อไม่ให้เข้ามาในบริเวณบาดแผลและสนับสนุนการออกใหม่ของกระดูกจากเซลล์กระดูกบริเวณใกล้เคียงที่เคลื่อนมากยังบาดแผล นอกจากนี้ ในปัจจุบันยังมีการนำเข้าวัสดุทางชีวภาพต่างๆ มาใช้เป็นโครงค้ำยัน (scaffold) ใส่ในบาดแผล เพื่อให้เป็นแนวทางสำหรับการเคลื่อนที่และเจริญเติบโตของเซลล์กระดูกหรือเซลล์ต้นกำเนิด (stem cells) ของเซลล์กระดูกเข้าไปยังบริเวณของบาดแผล และเกิดการซ่อมแซมด้วยกระดูกได้³

ลักษณะของโครงค้ำยันที่ดี ควรมีความเข้ากันได้กับเนื้อเยื่อ มีอัตราการย่อยสลายเท่ากับอัตราการสร้างของเนื้อเยื่อใหม่ มีคุณสมบัติเป็นโครง 3 มิติที่มีความพรุนเพื่อให้เซลล์สามารถยึดเกาะ เจริญเติบโต และเพิ่มจำนวนได้⁴ ลักษณะ

ของรูป/run สังเกตได้จากขนาดของรูป/run รูปร่าง เส้นเชื่อมระหว่างรูป/run ระดับของความพรุนและพื้นที่ผิว ซึ่งลักษณะเหล่านี้จะช่วยทำให้เซลล์ที่มีความเกี่ยวข้องกับการซ่อมแซม เนื้อเยื่อรวมถึงหลอดเลือดและสารอาหารต่างๆ เคลื่อนที่เข้ามาในโครงค้ำยันได้ โดยปัจจัยที่สำคัญที่สุด คือ ขนาดของรูป/run⁵ มีการรายงานถึงขนาดของเส้นผ่านศูนย์กลางของรูป/run ที่เหมาะสมในการเจริญเติบโตของเซลล์ ตั้งแต่ขนาดเล็กกว่า 100 ไมโครเมตร⁶ จนถึงขนาด 500 ไมโครเมตร^{7,8}

วัสดุที่นำมาสังเคราะห์เป็นโครงค้ำยันอาจเป็นวัสดุได้จากธรรมชาติ หรือจากสารสังเคราะห์ที่มีคุณสมบัติเหมาะสม⁹ โครงค้ำยันที่สังเคราะห์ขึ้นจากสัดส่วนมาตรฐานที่ส่วนใหญ่มักทำขึ้นจากเมทริกซ์นอกเซลล์ (extracellular matrix) ที่เซลล์มีความคุ้นเคย ดังนั้นโครงค้ำยันชนิดนี้จึงมีความเข้ากันได้กับเนื้อเยื่อ สามารถรองรับการยึดเกาะและการเจริญเติบโตของเซลล์ได้¹⁰ แต่มีข้อเสีย คือ ขาดความแข็งแรง ย่อยสลายง่าย ทำให้เกิดความยุ่งยากเมื่อนำมาใช้ในห้องปฏิบัติการหรือนำไปใช้จริงทางคลินิก¹¹ โดยทั่วไปโครงค้ำยันที่ผลิตจากธรรมชาตินิยมผลิตจากคลอลาเจน (collagen) ซึ่งเป็นโปรตีนที่เป็นส่วนประกอบหลักของร่างกาย คลอลาเจนพบได้ประมาณร้อยละ 30 ของปริมาณโปรตีนทั้งหมดในร่างกาย รวมทั้งเป็นเมทริกซ์หลักของเนื้อเยื่อกระดูก¹² คลอลาเจนที่นำมาสังเคราะห์โครงค้ำยัน ส่วนใหญ่เป็นคลอลาเจนชนิดที่ I (type I collagen) ที่ได้จากสัตว์ เช่น วัว¹³ และสกุร¹⁴ ข้อดีของโครงค้ำยันที่ได้จากการคลอลาเจน คือ คลอลาเจนเป็นส่วนหนึ่งของเมทริกซ์นอกเซลล์ จึงมีการตอบสนองทางระบบภูมิคุ้มกันต่างๆ¹⁵ สามารถกระตุ้นให้มีการยึดเกาะของเซลล์ได้ ใช้ได้กับบาดแผลในตำแหน่งต่างๆ ทั้งบริเวณที่เป็นเนื้อเยื่อ

อ่อน (soft tissue)¹⁶ และบริเวณที่เป็นเนื้อเยื่อแข็ง (hard tissue)¹⁷ จัดหาได้ง่ายจากธรรมชาติ และมีการย่อยสลายได้เอง แต่ข้อเสียของโครงค้ำยันคอลลาเจน คือ ขาดความแข็งแรง และย่อยสลายง่าย โครงค้ำยันคอลลาเจนที่เป็นผลิตภัณฑ์ทางการค้าส่วนใหญ่จะมีการปรับปัจจุบันสภาพให้เหมาะสมกับการใช้งานมากขึ้นด้วยการทำปฏิกิริยาเชื่อมขวาง (cross linking) ในลักษณะของคอลลาเจน¹⁸ ปฏิกิริยาเชื่อมขวางนี้สามารถทำได้หลายวิธี เช่น ใช้ความร้อน (dehydrothermal) ใช้รังสีอัลตราไวโอลেต¹⁹ หรือใช้สารเคมี เช่น กลูตารัลเดไฮด์ (glutaraldehyde)²⁰ และฟอร์มัลเดไฮด์ (formaldehyde)²¹ สารเคมีสองชนิดนี้ โดยเฉพาะอย่างยิ่งกลูตารัลเดไฮด์มีความเป็นพิษต่อเซลล์ ซึ่งส่งผลให้เกิดการตายของเซลล์และการหายของบาดแผลช้ำลง²² ปัจจุบันมีการใช้สารประกอบของ 1-เอтиล-3-(3-ไดเมทิลอะมิโนในไพริล)-คาร์บอยไดโอกไซด์ (1-ethyl-3-(3-dimethyl aminopropyl) carbodiimide, EDC) และสารเอนไซดรอคิซัคซินิเมด (N-hydroxysuccinimide, NHS) มาใช้เป็นสารในปฏิกิริยาเชื่อมขวาง ซึ่งพบว่าสามารถช่วยให้โครงค้ำยันคอลลาเจนมีความคงตัวและไม่เป็นพิษต่อเซลล์²³

โครงค้ำยันคอลลาเจนที่เป็นผลิตภัณฑ์ทางการค้า ส่วนใหญ่ผลิตจากเอ็นยีดกล้ามเนื้อและผิวนังของวัว²⁴ แต่พบว่าการใช้น้ำเยื่อจากวัวมีความเสี่ยงต่อการเกิดภาวะแทรกซ้อน และอาจทำให้เกิดการติดเชื้อและแพร่กระจายของโรควัวบ้า (Mad cow disease) ได้²⁵ การผลิตโครงค้ำยันคอลลาเจนในปัจจุบันจึงพยายามใช้คอลลาเจนจากสัตว์มีชีวิตชนิดอื่นมาทดแทนคอลลาเจนจากวัว เช่น คอลลาเจนจากหนังสุกร¹⁴ หนังปลาทะเล²⁶ และเอ็นยีดกล้ามเนื้อม้า²⁷ เป็นต้น นอกจากการใช้โครงค้ำยันมาช่วยเป็นหลักยังให้กับเซลล์แล้ว ยังมีการเติมแต่งโครงค้ำยันด้วยไม่เลกูลที่เกี่ยวกับการสังสัญญาณการทำงานระหว่างเซลล์ เช่น โปรตีนแฟกเตอร์ชนิดต่างๆ (growth factors) หรือสารที่สามารถดึงดูดหรือกระตุ้นเซลล์กระดูกให้เคลื่อนที่มายังบาดแผลได้ด้วยเช่น ตัวอย่างของสารดังกล่าวที่นิยมใช้ ได้แก่ ไฮดรอกซิอะพาไทต์ (hydroxyapatite)

ไฮดรอกซิอะพาไทต์ เป็นสารอนินทรีย์ที่มีองค์ประกอบหลัก คือ แคลเซียมและฟอสฟे�ต มีสูตรโครงสร้าง คือ $\text{Ca}_{10}(\text{PO}_4)_6(\text{OH})_2$ พบร้าในส่วนประกอบของกระดูกและฟันในมนุษย์ ด้วยลักษณะสมบัติที่มีความคล้ายคลึงกันกับส่วนประกอบของกระดูก และมีการศึกษาพบว่าไฮดรอกซิอะพาไทต์มีความเข้ากันได้กับเนื้อเยื่อและสามารถเหนี่ยวนำ

ให้เซลล์เจริญเติบโตได้ดี²⁸ จึงมีการนำไฮดรอกซิอะพาไทต์มาผลิตเป็นโครงค้ำยันสำหรับการซ่อมแซมกระดูก²⁹ แต่ไฮดรอกซิอะพาไทต์อาจมีความประาะสูงและไม่เหมาะสมที่จะนำมาผลิตเป็นโครงค้ำยันเดียว จึงนิยมนำมาใช้ร่วมกับคอลลาเจนในการผลิตเป็นโครงค้ำยันเลี้ยงเซลล์³⁰ มีการศึกษาที่รายงานถึงผลลัพธ์ของโครงค้ำยันที่เกิดจากการผสมไฮดรอกซิอะพาไทต์กับคอลลาเจน พบร้าช่วยทำให้โครงค้ำยันคงรูปประจำได้ดี ด้านหนาต่อการละลายและการย่อยสลายด้วยเอนไซม์คอลลาเจนส์ได้ดีกว่าโครงค้ำยันที่มีคอลลาเจนเป็นส่วนประกอบเพียงอย่างเดียว³¹ อีกทั้งมีคุณสมบัติเหนี่ยวนำให้มีแคลเซียมพอกพูน (calcification) ได้ดีอีกด้วย²⁸

จากการศึกษาของ Hutmacher³² พบร้าวิธีการประดิษฐ์โครงค้ำยันเลี้ยงเซลล์มีห้ายาวิธี และแต่ละวิธีมีความแตกต่างกันออกไป ทั้งนี้ขึ้นกับชนิดและรูปประจำของโครงค้ำยัน รวมถึงปัจจัยต้นทุนในการผลิต สำหรับการขึ้นรูปของโครงค้ำยันคอลลาเจนนั้นนิยมขึ้นรูปด้วยวิธีการทำให้แห้งโดยแช่แข็ง (Freeze drying) เพราะเป็นวิธีที่ทำได้ง่าย สามารถระเหิดตัวทำละลายออกໄไปได้ดี³³ ซึ่งวิธีการนี้จะทำให้ได้ขนาดของรูปrunที่แตกต่างกันขึ้นกับคุณภาพที่ใช้ในการแช่แข็ง³⁴

จากปัญหาเกี่ยวกับการแพร่กระจายของโรควัวบ้า การใช้วัตถุดิบที่มาจากหนังสุกรจึงเป็นทางเลือกที่ปลอดภัย ประกอบกับสุกรเป็นสตั๊ดว์เครชชูริกิตี่เลี้ยงกันเพร่หลายในประเทศไทย จึงหาได้ง่าย และราคาไม่แพง งานวิจัยนี้จึงมีวัตถุประสงค์ในการสกัดคอลลาเจนจากหนังสุกร และศึกษาลักษณะของรูปrunในโครงค้ำยันที่ประดิษฐ์จากคอลลาเจนที่สกัดได้ผสมไฮดรอกซิอะพาไทต์ โดยใช้ความเข้มข้นของคอลลาเจนและอุณหภูมิในการแช่แข็งที่แตกต่างกันในการขึ้นรูปโครงค้ำยัน

วัสดุและวิธีการ การสกัดคอลลาเจนจากหนังสุกร

คอลลาเจนที่ใช้ในการศึกษานี้ เตรียมจากผิวนังสุดของสุกร ด้วยวิธีการละลายในกรดที่ผสมเอนไซม์ และตกตะกอนคอลลาเจนด้วยเกลือ (salt precipitation) ซึ่งดัดแปลงจากวิธีของ Rousseau และ Gagnieu³⁵ โดยในขั้นแรกนำผิวนังสุกรมาล้างให้สะอาดด้วยน้ำกลั่น 4 องศาเซลเซียส 3 ครั้ง จากนั้นตัดเป็นชิ้นเล็กๆ นำไปแขวนในกรดไฮโดรคลอริก ความเข้มข้น 0.015 ไมลาร์ ที่ผสมเพปซิน (pepsin) ในปริมาณ 20 มิลลิกรัมต่อน้ำหนักของหนังสุกร

1 กรัม เป็นเวลา 48 ชั่วโมง ที่อุณหภูมิ 4 องศาเซลเซียส โดยใช้ปริมาตรของกรดผสมเอนไซม์ไม่น้อยกว่า 50 เท่าของปริมาตรหังสุกร จากนั้นนำส่วนผสมทั้งหมดไปปั่นด้วยเครื่องเหวี่ยงตักตะกอน (Sigma 6K15, Germany) ด้วยค่าแรงเหวี่ยงหนึ่งศูนย์กัลาง 10,000 x g เป็นเวลา 45 นาที ทั้งส่วนตะกอนซึ่งประกอบด้วยเศษเนื้อเยื่อไป นำเฉพาะส่วนเหลวมาตัดตะกอนให้ได้คอลลาเจนด้วยเกลือโซเดียมคลอไรด์ ให้ได้ความเข้มข้นสุดท้ายของเกลือเป็น 0.6 มิลลาร์ นำไปเหวี่ยงตักตะกอนอีกครั้ง เก็บเฉพาะส่วนตะกอนซึ่งส่วนใหญ่ประกอบด้วยคอลลาเจน ทำการละลายตะกอนคอลลาเจนในกรดและตัดตะกอนด้วยเกลือซ้ำ 2 ครั้งเพื่อให้ได้คอลลาเจนที่สะอาด จากนั้นทำการกำจัดเกลือที่ใช้ตัดตะกอนคอลลาเจนด้วยการทำ ไดอะไลซิส (dialysis) ของสารละลายคอลลาเจนในกรดแอซิติกความเข้มข้น 0.1 มิลลาร์ โดยใช้เยื่อดิอะไลซิสที่มีความสามารถจำกัดการซึมผ่านของไมเลกูลที่มีน้ำหนัก 12,000–14,000 ดาลตัน (Spectra/Por[®] dialysis membrane, MW cut off 12,000–14,000, Spectrum Medical, USA) ที่อุณหภูมิ 4 องศาเซลเซียส เป็นเวลา 4 วัน สารละลายคอลลาเจนที่ปราศจากเกลือปูนเบื้องถูกนำไปอบแห้งเยือกแข็ง (lyophilization Flexi-Dry MP, Sigma, USA) เป็นเวลา 24 ชั่วโมง

การเตรียมโครงค้ำยันคอลลาเจนผสมไฮดรอกซีอะพาไทต์

นำคอลลาเจนที่ผ่านการอบแห้งเยือกแข็งไปละลายในกรดแอซิติก ความเข้มข้น 0.5 มิลลาร์ ให้ได้ความเข้มข้นของคอลลาเจน 1.5, 2 และ 2.5 กรัมต่อปริมาตรกรด 100 มิลลิลิตร เก็บสารละลายคอลลาเจนทั้ง 3 ความเข้มข้นที่อุณหภูมิ 4 องศาเซลเซียส จนสารละลายคอลลาเจนเป็นวุ่นขึ้น จากนั้นเติมผสมไฮดรอกซีอะพาไทต์ (Sigma-Aldrich, USA) ในอัตราส่วนไฮดรอกซีอะพาไทต์ : สารละลายคอลลาเจน เป็น 1:10 (น้ำหนักต่อปริมาตร) คนให้เข้ากัน นำสารละลายคอลลาเจนผสมไฮดรอกซีอะพาไทต์ เทไประบบพิมพ์พลาสติกขนาดกว้าง 30 มิลลิเมตร ยาว 30 มิลลิเมตร และสูง 5 มิลลิเมตร จากนั้นนำไปอบพิมพ์ที่ได้ไปแข็งเย็น โดยแบ่งเป็น 2 กลุ่ม กลุ่มแรกทำให้สารละลายผสมแข็งตัวโดยลดอุณหภูมิอย่างช้าๆ ด้วยการนำไปแข็งเย็นที่อุณหภูมิ -20 องศาเซลเซียส เป็นเวลา 30 นาที ตามด้วยที่อุณหภูมิ -80 องศาเซลเซียสอีก 30 นาที กลุ่มที่ 2 นำไปแข็งเย็นโดยลดอุณหภูมิลงอย่างรวดเร็ว ด้วย

การแข็งที่อุณหภูมิ -80 องศาเซลเซียสทันที เป็นเวลา 1 ชั่วโมง แล้วนำแบบพิมพ์ทั้งสองไปอบแห้งเยือกแข็ง เป็นเวลา 24 ชั่วโมง จะได้เป็นโครงค้ำยันคอลลาเจนผสมไฮดรอกซีอะพาไทต์ที่มีลักษณะคล้ายฟองน้ำ

การทำปฏิกริยาเชื่อมช่วงโครงค้ำยันคอลลาเจนผสมไฮดรอกซีอะพาไทต์

สารที่ใช้ในปฏิกริยาเชื่อมช่วงคอลลาเจนในการศึกษานี้ เป็นสารผสมของ 33 มิลลิมิลาร์ 1-เอทิล-3-(3-ไดเมทิลอะมิโนโพร์พิล)-คาร์บอไดโอลีด กับ 6 มิลลิมิลาร์ เอ็นไซดรอกซีซัคชิโนเมิร์ (Sigma-Aldrich, USA) ในสารละลายบัฟเฟอร์ที่ประกอบด้วย 50 มิลลิมิลาร์ ของ 2-มอร์ฟอลีโน่ในอีเทนอลฟอนิกแอซิด (2-morpholinoethane sulphonic acid) และเอทานอล ร้อยละ 40²³ ปฏิกริยาเชื่อมช่วงทำโดยใช้โครงค้ำยันคอลลาเจนที่สังเคราะห์ขึ้นในสารเชื่อมช่วงภายใต้สภาวะสูญญากาศที่อุณหภูมิห้องเป็นเวลา 2 ชั่วโมง จากนั้นล้างด้วยน้ำกัลล์จำนวนมาก นำไปอบแห้งเยือกแข็งอีกครั้ง

การศึกษาองค์ประกอบไฮดรอกซีอะพาไทต์ในโครงค้ำยันคอลลาเจนผสมไฮดรอกซีอะพาไทต์

นำโครงค้ำยันที่ผลิตขึ้นในแต่ละกลุ่มบดละเอียดและวิเคราะห์หาไฮดรอกซีอะพาไทต์ในโครงค้ำยัน โดยวิธีวิเคราะห์การเลี้ยวเบนรังสีเอกซ์ด้วยเครื่องเอกซเรย์ดิฟแฟร์กโตมิเตอร์ (X-ray diffractometer Bruker AXS Model D8 Discover, Germany)

การศึกษาลักษณะรูปทรงของโครงค้ำยันคอลลาเจนผสมไฮดรอกซีอะพาไทต์

ทำการศึกษาลักษณะโครงสร้างโดยละเอียดของโครงค้ำยันคอลลาเจนที่สังเคราะห์ได้ด้วยกล้องจุลทรรศน์อิเล็กตรอนชนิดส่องกราด (scanning electron microscope JEOL, Japan) โดยสูญเสียอิเล็กตรอนที่ประดิษฐ์ขึ้นในแต่ละกลุ่ม กลุ่มละ 1 ชิ้น ตัดคำแหงกึ่งกลางของโครงค้ำยันที่สังเคราะห์ขึ้นให้มีขนาดเล็กผ่านศูนย์กลาง 5 มิลลิเมตร หนา 3 มิลลิเมตร จากนั้นเตรียมตัวอย่างสำหรับการศึกษาด้วยกล้องจุลทรรศน์อิเล็กตรอน โดยทำให้แห้งที่จุดวิกฤติ (critical point drying) ก่อนที่จะนำไปยึดติดบนแผ่นทองเหลือง (specimen stub) และเคลือบผิวด้วยอย่างด้วยอนุภาคทอง (gold particles) ศึกษา

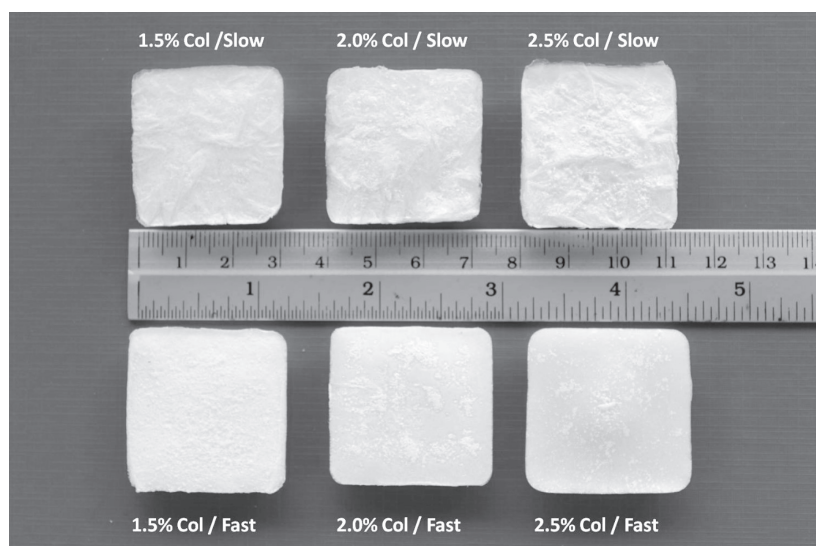
ลักษณะพื้นผิวและความพรุนของโครงค้ำยั่นคอลลาเจนด้วยกล้องจุลทรรศน์อิเล็กตรอนชนิดส่องการดูที่ 15 กิโลโวลต์ ที่กำลังขยาย 100 เท่า บันทึกภาพด้วยระบบดิจิตัล (Semafor[®] 5.0 digital imaging system JEOL, Japan)

สำหรับการวิเคราะห์ขนาดของรูพรุน (pore size) ของโครงค้ำยั่นคอลลาเจนมีขั้นตอน คือ นำโครงค้ำยั่นที่ได้จากการแผ่นพิมพ์พลาสติกของแต่ละกลุ่ม ตัดให้มีขนาดเส้นผ่านศูนย์กลาง 5 มิลลิเมตร สูง 3 มิลลิเมตร จำนวน 5 ชิ้น ที่ดำเนินการกึ่งกลางและมุมทั้ง 4 ของโครงค้ำยั่นทำการเตรียมซึ่งตัวอย่าง สำหรับการตัดให้เป็นแผ่นบางด้วยพาราฟิน (paraffin section) ตัดเป็นแผ่นบางขนาด 5 ไมโครเมตร ย้อมด้วยสีเอมาท์อกไซลีน (haematoxylin) สูมสไลด์จำนวน 5 ภาค วัดพื้นที่ของรูพรุนของโครงค้ำยั่นด้วยกล้องจุลทรรศน์ระบบใช้แสงขาว (BH-2, Olympus optical, Japan) ที่กำลังขยาย 10 เท่า บันทึกภาพด้วยชุดโปรแกรมถ่ายภาพ Motic Advance Image 3.2 (Motic China Group, China) วัดขนาดของรูพรุนด้วยเครื่องวัดพื้นที่อิสระ (irregular) โดยวัดขนาดของพื้นที่ของรูพรุนทุกวงที่มีเส้นลักษณะรอบขั้ดเจน วัดทุกวงที่ปรากฏในภาพ ผู้วัดขนาดของรูพรุนเพียงคนเดียวและผ่านการปรับความแม่นยำในการวัดรูพรุน ด้วยการวัดภาพของขนาดพื้นที่รูพรุน 2 ครั้ง นำค่าเฉลี่ยที่ได้มาทดสอบความแตกต่าง

ของค่าเฉลี่ย โดยใช้สถิติทดสอบแพร์ที-test (paired t-test) ที่ระดับนัยสำคัญ 0.05 ค่าที่ได้เป็นค่าขนาดของพื้นที่รูพรุน มีหน่วยเป็นตารางไมโครเมตร นำค่าที่ได้มาหาค่าเฉลี่ยของพื้นที่รูพรุน วิเคราะห์ความแตกต่างของค่าเฉลี่ยจากโครงค้ำยั่นแต่ละกลุ่มศึกษาด้วยสถิตินอนพารามิตริก (non-parametric) ชนิดครุศัลลลิต (Kruskal-Wallis) การเปรียบเทียบพหุคุณ โคลโนเวอ อินเมน (multiple comparisons, all pairwise comparison : Conover Inman) ที่ระดับนัยสำคัญ 0.05 ด้วยโปรแกรม สเตทส์เด rekท์ ฟอร์ วินโดวส์ เวอร์ชัน 2.7.2 (StatsDirect for Windows version 2.7.2)

ผลการศึกษา

การสกัดคอลลาเจนจากหนังสุกรด้วยวิธีการละลายในกรดและตกตะกอนด้วยเกลือในการศึกษานี้ พบว่าหนังสุกรสต์จำนวน 100 กรัม สามารถสกัดได้คอลลาเจนที่ kobแท้แห้งเยิ่อก แข็งได้ประมาณ 0.9 กรัม และเมื่อตากอบลาเจนดังกล่าวมาผสานกับไฮดรอกซิอะพาไทต์และสังเคราะห์เป็นโครงค้ำยั่นโดยใช้ความเข้มข้นของคอลลาเจนในกรด ร้อยละ 1.5, 2 และ 2.5 กรัม และผ่านการอบเยิ่อกแข็งที่สภาวะต่างกัน 2 สภาวะ พบว่าโครงค้ำยั่นที่สังเคราะห์ขึ้นทุกกลุ่มมีลักษณะเป็นรูพรุน

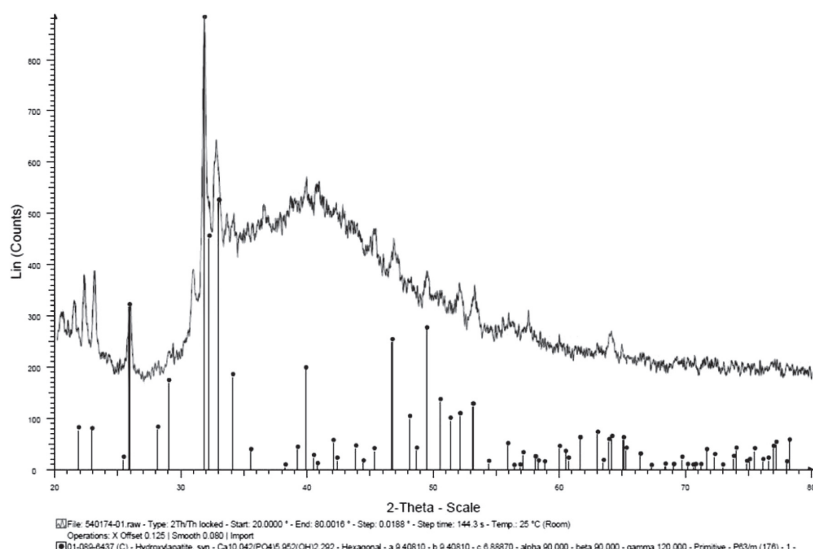


รูปที่ 1 ลักษณะทางกายภาพของโครงค้ำยั่นคอลลาเจนผสมไฮดรอกซิอะพาไทต์ที่สังเคราะห์ขึ้นจากคอลลาเจนความเข้มข้น ร้อยละ 1.5, 2.0 และ 2.5 โดยใช้อุณหภูมิแข็งต่ำลงอย่างช้าๆ (slow) และอุณหภูมิแข็งต่ำลงอย่างรวดเร็ว (fast)

Fig. 1 Physical characteristic of collagen mixed with hydroxyapatite scaffold fabricated from 1.5%, 2.0% and 2.5% collagen under slow and fast freezing conditions.

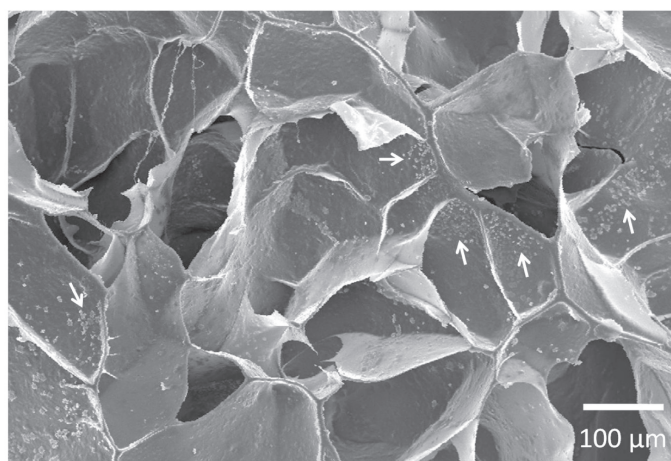
คล้ายฟองน้ำ มีสีขาว (รูปที่ 1) กดนมิ่น ไม่มีกลิ่น และเมื่อ捺ในโครงค้ำยันเหล่านี้ไปแขวนน้ำก็ล้นก่อนทำปฏิกริยาเชื่อมขวางพบว่าโครงค้ำยันทุกกลุ่มมีลักษณะนิ่มเหลว ไม่คงตัว ซึ่งภายหลังจากการทำปฏิกริยาเชื่อมขวางพันธะแล้ว โครงค้ำยันเหล่านี้อุ้มน้ำได้ดี กัดแข็งขึ้น มีความคงตัวมากขึ้น โดยสีไม่เปลี่ยนแปลง

จากการศึกษาองค์ประกอบไฮดรอกซิโอฟอฟไทด์ในโครงค้ำยันคอลลาเจนผสมไฮดรอกซิโอฟอฟไทด์เพื่อวิเคราะห์หาไฮดรอกซิโอฟอฟไทด์ โดยวิธีวิเคราะห์การเลี้ยวเบนรังสีเอ็กซ์ด้วยเครื่องเอกซเรย์ดิฟเฟรนซ์มิเตอร์ พบว่ามีผลึกของไฮดรอกซิโอฟอฟไทด์เป็นส่วนประกอบในโครงค้ำยัน (รูปที่ 2)



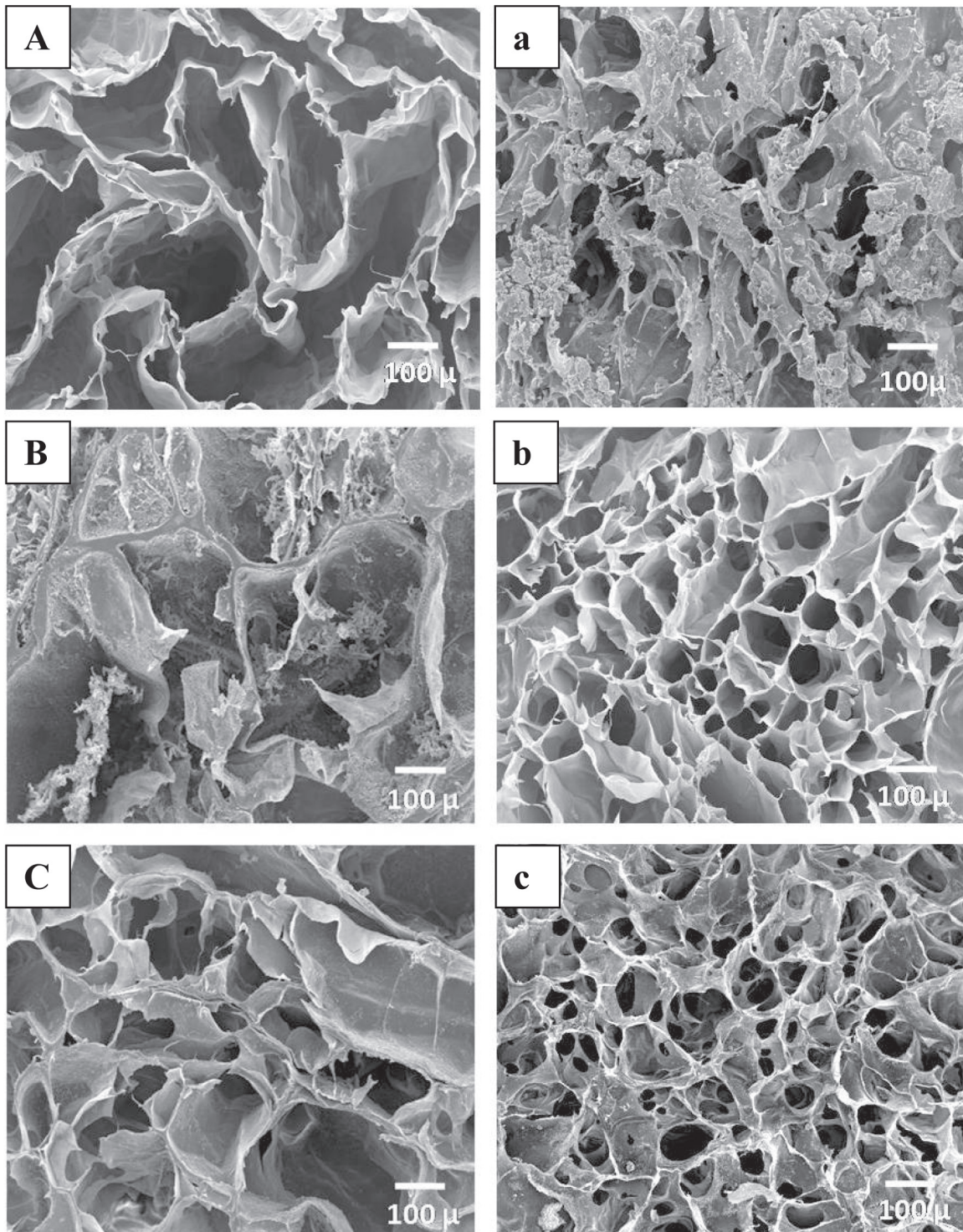
รูปที่ 2 องค์ประกอบของผลึกไฮดรอกซิโอฟอฟไทด์ในโครงค้ำยันคอลลาเจนผสมไฮดรอกซิโอฟอฟไทด์ที่ศึกษาด้วยวิธีเอกซเรย์ดิฟเฟรนซ์มิเตอร์

Fig. 2 Hydroxyapatite crystal in collagen mixed with hydroxyapaptite scaffold studied by X-ray diffractometer



รูปที่ 3 ภาพถ่ายกล้องจุลทรรศน์อิเล็กตรอนชนิดส่องการดูของโครงค้ำยันคอลลาเจนผสมไฮดรอกซิโอฟอฟไทด์ แสดงลักษณะผนังของรูพรุนมีผลึกไฮดรอกซิโอฟอฟไทด์เกาะ (ลูกศรชี้)

Fig. 3 Scanning electron micrograph of collagen mixed with hydroxyapaptite demonstrates the hydroxyapatite crystals attaching at the wall of the pores. (arrows)



รูปที่ 4 ภาพถ่ายกล้องจุลทรรศน์อิเล็กตรอนชีวนิດส่องการดูของโครงสร้างของโครงสร้างคอลลาเจนผสมไอกرومีอะพาไทต์แสดงลักษณะของรูพรุนของโครงสร้างค้ำยันที่สังเคราะห์จากคอลลาเจนที่ความเข้มข้นต่างกันและผ่านการแข็ง เชิงสภาวะต่างกัน

(A) โครงสร้างค้ำยันที่สังเคราะห์จากคอลลาเจนร้อยละ 1.5 และภายใต้อุณหภูมิแข็งต่ำลงอย่างช้าๆ

(a) โครงสร้างค้ำยันที่สังเคราะห์จากคอลลาเจนร้อยละ 1.5 และภายใต้อุณหภูมิแข็งต่ำลงอย่างรวดเร็ว

- (B) โครงค้ำยันที่สั้นเคราะห์จาก collagen เนื้อร้ายละ 2.0 และภายในตัวอุณหภูมิแข็งต่ำลงอย่างช้าๆ
- (b) โครงค้ำยันที่สั้นเคราะห์จาก collagen เนื้อร้ายละ 2.0 และภายในตัวอุณหภูมิแข็งต่ำลงอย่างรวดเร็ว
- (C) โครงค้ำยันที่สั้นเคราะห์จาก collagen เนื้อร้ายละ 2.5 และภายในตัวอุณหภูมิแข็งต่ำลงอย่างช้าๆ
- (c) โครงค้ำยันที่สั้นเคราะห์จาก collagen เนื้อร้ายละ 2.5 และภายในตัวอุณหภูมิแข็งต่ำลงอย่างรวดเร็ว

Fig. 4 Scanning electron micrographs of collagen mixed with hydroxyapatite scaffold demonstrate the pores of the scaffold fabricated under different collagen concentrations and different freeze drying conditions.

- (A) Scaffold fabricated from 1.5% collagen under slow freezing condition.
- (a) Scaffold fabricated from 1.5% collagen under fast freezing condition.
- (B) Scaffold fabricated from 2.0% collagen under slow freezing condition.
- (b) Scaffold fabricated from 2.0% collagen under fast freezing condition.
- (C) Scaffold fabricated from 2.5% collagen under slow freezing condition.
- (c) Scaffold fabricated from 2.5% collagen under fast freezing condition.

ตารางที่ 1 ค่ามัธยฐานของพื้นที่รูพรุนของโครงค้ำยันที่สั้นเคราะห์จาก collagen เนื้อร้ายที่ความเข้มข้นต่างกันและผ่านการแข็งตัวที่สภาวะต่างกัน

Table 1 Median of pore area of the scaffold fabricated under different collagen concentrations and different freezing conditions.

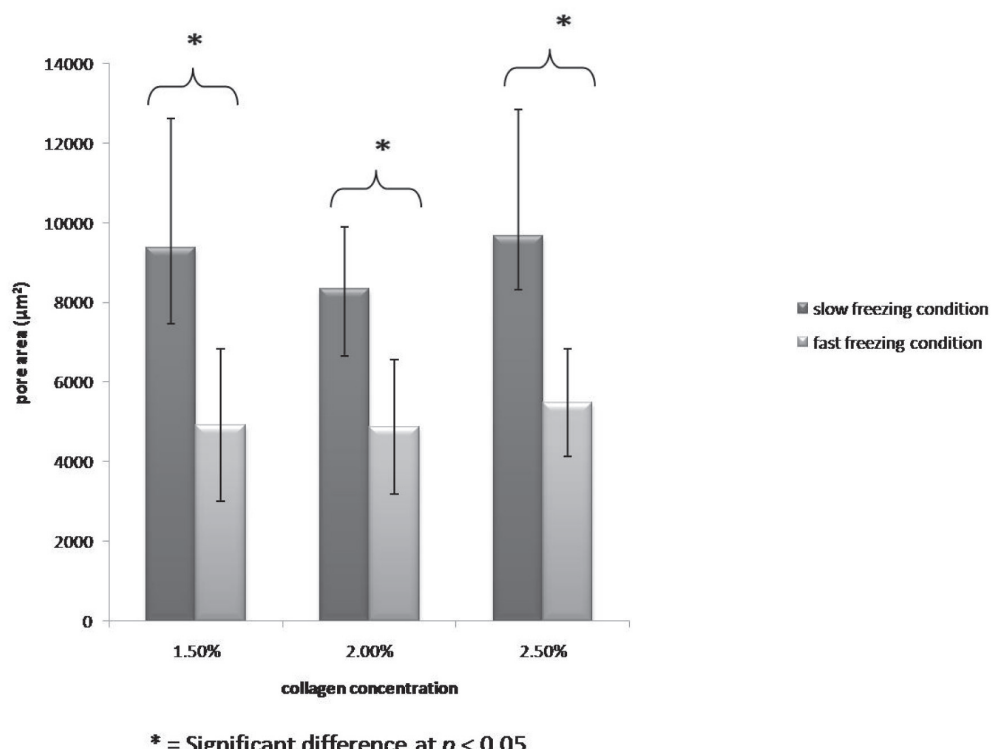
Collagen concentration	Pore area (μm^2) under slow freezing condition		Pore area (μm^2) under fast freezing condition	
	Median (I.Q)	Mean (Max–Min)	Median (I.Q)	Mean Max–Min
1.5% collagen	8,404 (10,895–7,152)	9,384 (17,467–5,642)	5,136 (6,173–3,181)	4,919 (11,421–2,045)
2.0% collagen	8,088 (9,837–6,943)	8,347 (11,078–6,126)	4,298 (6,135–3,343)	4,878 (7,604–2,430)
2.5% collagen	8,553 (10,588–7,376)	9,666 (22,118–6,901)	5,156 (6,759–4,465)	5,487 (7,906–3,673)

จากการศึกษาลักษณะของโครงสร้างคอลลาเจนผสมไฮดรอกซีอะพาไทต์ที่ผ่านการเชื่อมขวางแล้วด้วยกล้องจุลทรรศน์อิเล็กตรอนชนิดส่องกราด พบว่าโครงสร้างเหล่านี้ประกอบด้วยเส้นใยคอลลาเจนที่อัดกันแน่นเป็นแผ่นและسانกันไปมาเกิดเป็นรูพรุนที่มีผลึกของไฮดรอกซีอะพาไทต์เกาะกระจาอยู่ทั่วไปบนแผ่นคอลลาเจน (รูปที่ 3) เมื่อพิจารณาโครงสร้างคอลลาเจนไฮดรอกซีอะพาไทต์ที่เตรียมจากคอลลาเจนที่ความเข้มข้นต่างๆ กันด้วยกล้องจุลทรรศน์อิเล็กตรอนชนิดส่องกราด พบว่าขนาดของรูพรุนของกลุ่มที่ใช้อุณหภูมิแข็งตัวลงอย่างรวดเร็ว มีขนาดเส้นผ่านศูนย์กลางของรูพรุนประมาณ 100 ไมโครเมตร ขณะที่กลุ่มที่ลดอุณหภูมิแข็งตัวลงอย่างช้าๆ จะมีขนาดเส้นผ่านศูนย์กลางของรูพรุนโดยประมาณมากกว่า 100 ไมโครเมตร (รูปที่ 4)

จากการศึกษาการวัดขนาดของพื้นที่รูพรุนด้วยกล้องจุลทรรศน์ที่ใช้ระบบแสงขาว ก่อนการวัด ผู้วิจัยได้ทดสอบความแม่นยำในการวัด โดยวัดค่าเฉลี่ยของพื้นที่รูพรุน 2 ครั้ง แล้วนำมาเปรียบเทียบกัน พบว่าค่าเฉลี่ยของพื้นที่รูพรุนไม่มี

ความแตกต่างกันอย่างมีนัยสำคัญทางสถิติ ($p = 0.436$) ทำการวัดขนาดของพื้นที่รูพรุนในโครงสร้างค้ำยันที่สังเคราะห์จากคอลลาเจนที่ความเข้มข้นต่างกันและผ่านการแข็งก่อนการอบเยือกแข็งที่สภาพต่างกันด้วยการวัดขนาดของรูพรุนเหล่านี้ ผลการวัดแสดงไว้ในตารางที่ 1

เมื่อเปรียบเทียบค่าเฉลี่ยของพื้นที่รูพรุนของโครงสร้างในแต่ละกลุ่มโดยใช้สถิติทดสอบครูสคัลวัลลิสและการเปรียบเทียบพหุคุณด้วยการทดสอบโคโนเวอ อินแมน พบร่วมค่าเฉลี่ยของพื้นที่รูพรุนของโครงสร้างที่สังเคราะห์ขึ้นด้วยการแข็งแข็งโดยลดอุณหภูมิลงอย่างช้าๆ ในแต่ละความเข้มข้นของคอลลาเจนมีค่าเฉลี่ยของรูพรุนมากกว่าค่าเฉลี่ยของขนาดพื้นที่รูพรุนของโครงสร้างที่สังเคราะห์ขึ้นด้วยการแข็งโดยลดอุณหภูมิลงอย่างรวดเร็ว อย่างมีนัยสำคัญทางสถิติ ($p < 0.05$) และเมื่อเปรียบเทียบค่าเฉลี่ยของรูพรุนที่ผลิตขึ้นเมื่อความเข้มข้นของคอลลาเจนแตกต่างกัน พบว่าค่าเฉลี่ยของขนาดรูพรุนไม่แตกต่างกัน ($p > 0.05$) (รูปที่ 5)



รูปที่ 5 ค่าเฉลี่ยของพื้นที่รูพรุนของโครงสร้างคอลลาเจนผสมไฮดรอกซีอะพาไทต์ที่สังเคราะห์จากคอลลาเจนที่ความเข้มข้นต่างกันและผ่านการแข็งที่สภาพต่างกัน

Fig. 5 Mean of pore area of collagen mixed with hydroxyapatite scaffold fabricated under different collagen concentrations and different freezing conditions.

วิจารณ์

ดังที่ได้กล่าวแล้วว่า การใช้คอลลาเจนจากวัวทำให้มีโอกาสเสี่ยงกับการติดเชื้อโรคที่มานาคาว จึงได้มีการสกัดคอลลาเจนจากสัตว์มีชีวิตชนิดอื่นเพื่อใช้แทน เช่น สุกร¹⁴ ม้า²⁷ หนังปลาทะเล²⁶ สำหรับการศึกษานี้ ได้เลือกที่จะสกัดคอลลาเจนจากหนังสุกร เนื่องจากหาได้ง่ายและราคาถูก อีกทั้งมีการศึกษาที่แสดงให้เห็นว่าโครงค้ำยันที่ผลิตจากหนังสุกร สามารถทำให้เซลล์บุหลอดเดือดเพิ่มจำนวนได้ดี¹⁴ วิธีการสกัดคอลลาเจนสามารถทำได้โดยการละลายกรดเพียงอย่างเดียว หรือใช้กรดร่วมกับเอนไซม์ ซึ่งในการศึกษานี้ได้เลือกใช้การสกัดด้วยกรดร่วมกับเอนไซม์พีพีซิน โดยปฏิกริยาที่เกิดขึ้นคือ เอนไซม์ทำลายพันธะเพปไทด์ที่ส่วนปลายของโมเลกุลของคอลลาเจนที่สกัดได้ ทำให้คอลลาเจนถูกตัดเป็นสายสั้นลง ที่เรียกว่า “อะติโลคอลลาเจน” (atelocollagen) ดังนั้นคอลลาเจนที่สกัดได้ด้วยวิธีการนี้จึงมีขนาดโมเลกุลสั้นกว่าวิธีการละลายคอลลาเจนด้วยกรดเพียงอย่างเดียว ข้อดีของการสกัดคอลลาเจนด้วยวิธีการนี้ คือ มีการจำกัดส่วนของโมเลกุลที่กระตุ้นระบบภูมิคุ้มกันของร่างกายออกไป³⁶

ในระยะแรกโครงค้ำยันคอลลาเจนผสมไฮดรอกซี-อะพาไทต์ที่สั้งเคราะห์ขึ้นไม่มีความคงตัวและย่อยสลายง่ายทำให้ยกแก่การนำไปใช้ในบาดแผล เพราะไม่สามารถคงรูปเป็นโครงให้เซลล์เกิดการยึดเกาะและเคลื่อนที่ได้ ตลอดจนไม่สามารถคงรูปร่างและเก็บพื้นที่ให้กับการเจริญของเซลล์กระดูกได้ และจะส่งผลให้เกิดลักษณะการซ่อมแซมบาดแผลเป็นเนื้อเยื่ออไฟบรัส โครงค้ำยันที่ดีจึงต้องมีความแข็งแรงเพื่อคงช่องว่างบริเวณบาดแผล การศึกษานี้จึงเพิ่มความคงตัวของโครงค้ำยันด้วยการเชื่อมข้างในโมเลกุลของคอลลาเจนด้วยสาร 1-เอทิล-3-(3-ไดเมทิลอะมิโนไพรพิล)-คาร์บิ-ไดไอไมด์ร่วมกับเอนไซด์รอกซีซัคชิโนไมด์ ซึ่งเป็นสารในกลุ่มคาร์บิไดไอไมด์โดยปฏิกริยาเชื่อมข้างที่เกิดขึ้น เกิดจากการกระตุ้นปลายคาร์บอชิล (carboxyl terminus) ของเส้นไฮคอลลาเจนให้ทำปฏิกริยา กับปลายอะมิโนของเส้นไฮคอลลาเจนอื่นที่อยู่ใกล้เคียง ทำให้เกิดการเชื่อมโยงพันธะ โครงค้ำยันคอลลาเจนที่ดีจึงมีความแข็งแรงและคงตัวมากขึ้น³⁷ อีกทั้งยังมีการศึกษาพบว่าสาร 1-เอทิล-3-(3-ไดเมทิลอะมิโน-ไพรพิล)-คาร์บิไดไอไมด์ร่วมกับเอนไซด์รอกซีซัคชิโนไมด์ มีความเข้ากันได้กับเซลล์และเนื้อเยื่อ^{24,38}

โครงค้ำยันที่ผลิตจากคอลลาเจนผสมไฮดรอกซีอะพาไทต์ เป็นวัสดุทางชีวภาพที่มีความเหมาะสมกับการนำมาใช้ซ่อมแซม

แต่กระดูก มีการศึกษาที่แสดงให้เห็นว่าคอลลาเจนผสมไฮดรอกซีอะพาไทต์มีสมบัติทางกลและอัตราการย่อยสลายเหมาะสมกว่าการใช้คอลลาเจนอย่างเดียวในการผลิตโครงค้ำยันเลี้ยงเซลล์³⁹ และมีการศึกษาใช้โครงค้ำยันคอลลาเจนผสมไฮดรอกซีอะพาไทต์ในการเสริมกระดูกขากรรไกร จากนั้นประเมินผลทางจุลทรรศน์วิภาค 1 ปี พบว่ามีความเข้ากันได้ดีทางชีวภาพเป็นอย่างมาก⁴⁰

เมื่อศึกษาด้วยกล้องจุลทรรศน์อิเล็กตรอนชนิดส่องกลางพบว่า โครงค้ำยันคอลลาเจนผสมไฮดรอกซีอะพาไทต์หลังการทำปฏิกริยาเชื่อมข้างประกอบด้วยเส้นไฮคอลลาเจนที่อัดกันแน่นเป็นแผ่น ผลลัพธ์ของไฮดรอกซีอะพาไทต์ได้ติดอยู่ที่ผนังของรูพุ่น เมื่อศึกษาขนาดของรูพุ่นด้วยการตัดเป็นแผ่นบางแล้วดูด้วยกล้องจุลทรรศน์ที่ใช้ระบบแสงขาว พบร่วงเมื่อความเข้มข้นของคอลลาเจนเพิ่มมากขึ้น ค่าเฉลี่ยของพื้นที่รูพุ่นที่ได้ไม่แตกต่าง ซึ่งผลการศึกษานี้แตกต่างจาก การศึกษาของ Tierney และคณะ⁴¹ ที่พบว่าความเข้มข้นของคอลลาเจนมีผลกับขนาดของรูพุ่น ทั้งนี้อาจเนื่องมาจากการศึกษานี้ใช้คอลลาเจนที่มีความเข้มข้นมากกว่า คือ ใช้คอลลาเจนร้อยละ 1.5 กรัมขึ้นไป ในขณะที่การศึกษาของ Tierney และคณะ ใช้ความเข้มข้นของคอลลาเจนเพียงร้อยละ 0.25-1 กรัมเท่านั้น อีกทั้งวิธีการวัดขนาดของรูพุ่นก็แตกต่างกัน โดย Tierney และคณะ ใช้วิธีการวัดขนาดของรูพุ่นจากค่าเฉลี่ยของเส้นผ่าศูนย์กลางที่กว้างที่สุดและแคบที่สุดของรูพุ่น จึงไม่สามารถเปรียบเทียบได้ อย่างไรก็ตาม ขนาดของรูพุ่นที่ได้จากการล้องจุลทรรศน์ที่ใช้ระบบแสงขาวมีรูปร่างคล้ายวงรี ไม่สม่ำเสมอ ทำให้การใช้ค่าเฉลี่ยของเส้นผ่าศูนย์กลางของรูพุ่นไม่มีความเหมาะสมเท่าที่ควร การศึกษานี้จึงใช้ขนาดของพื้นที่ เพื่อเป็นตัวแทนขนาดของรูพุ่น

เมื่อพิจารณาด้วยกล้องจุลทรรศน์อิเล็กตรอนชนิดส่องกลาง ถึงขนาดของรูพุ่นที่เกิดจากการใช้อุณหภูมิแข็ง เชิงที่แตกต่างกันทั้งสองสภาวะพบว่ากลุ่มที่ลดอุณหภูมิแข็งอย่างช้าๆ จะมีขนาดเส้นผ่าศูนย์กลางของรูพุ่นมากกว่า 100 ไมโครเมตร ซึ่งต่างจากกลุ่มที่ใช้อุณหภูมิแข็งแข็งที่ต่อลงอย่างรวดเร็วที่มีขนาดเส้นผ่าศูนย์กลางของรูพุ่นประมาณ 100 ไมโครเมตร ซึ่งค่าที่ได้ใกล้เคียงกับค่าเฉลี่ยของรูพุ่นจากการศึกษาของ Kang และคณะ⁴² ที่ทำการศึกษาผลของอุณหภูมินในการแข็งแข็งโครงค้ำยันเคลตตินที่อุณหภูมิ -20 องศาเซลเซียส -80 องศาเซลเซียส และแข็งในไตรเจนเหลว มีค่าเฉลี่ยของรูพุ่น 250 ± 120 85 ± 35 และ 45 ± 5 ไมโครเมตร ตามลำดับ

และเมื่อพิจารณาค่าเฉลี่ยของพื้นที่รูพูน เมื่อศึกษาด้วยวิธีการตัดเป็นแผ่นบางแล้วดูด้วยกล้องจุลทรรศน์ที่ใช้ระบบแสงขาวพบว่าค่าเฉลี่ยของพื้นที่รูพูนมีความสอดคล้องกับสภาวะของอุณหภูมิแข็งที่แตกต่างกัน กล่าวคือ เมื่อใช้อุณหภูมิแข็งที่ต่ำลงอย่างรวดเร็วจะทำให้ขนาดของพื้นที่รูพูนของโครงค้ำยันมีค่าน้อยกว่าการใช้อุณหภูมิแข็งที่ต่ำลงอย่างช้าๆ เช่นเดียวกับการศึกษาอื่นๆ^{5,34,42} เนื่องจากเมื่อใช้อุณหภูมิแข็งที่ต่ำลงอย่างช้าๆ มีจำนวนผลึกน้ำแข็งเกิดขึ้นน้อย และขยายขนาดใหญ่ขึ้นแทรกซึ้งเข้าไประหว่างเลี้นไบคอลลาเจนจึงทำให้เกิดรูพูนขนาดใหญ่กว่ารูพูนของโครงค้ำยันที่ใช้อุณหภูมิแข็งที่ต่ำลงอย่างรวดเร็ว⁴²

สำหรับผลการศึกษาถึงขนาดรูพูนที่เหมาะสมกับการเจริญเติบโตของเซลล์ Itala และคณะ⁶ พบว่าขนาดของรูพูนที่เหมาะสมสำหรับการเจริญเติบโตของเซลล์กระดูก มีค่าเฉลี่ยเส้นผ่านศูนย์กลางต่ำสุดประมาณ 75–100 ไมโครเมตร ในขณะที่การศึกษาของ Oh และคณะ⁴³ พบว่าขนาดของรูพูนที่เหมาะสมสำหรับการเจริญเติบโตของเซลล์กระดูกมีค่าเฉลี่ยเส้นผ่านศูนย์กลางอยู่ที่ประมาณ 300–400 ไมโครเมตร ซึ่งภาพจากกล้องจุลทรรศน์อิเล็กตรอนชนิดส่อง粒ภาพบ่งชี้ขนาดรูพูนของโครงค้ำยันที่ประดิษฐ์ขึ้นอยู่ในช่วงดังกล่าว จึงนับว่าโครงค้ำยันคอลลาเจนจากหนังสุกรผสมไฮดรอกซิอะพาไทต์ ในการศึกษานี้มีขนาดรูพูนที่เหมาะสมกับการเจริญเติบโตของเซลล์กระดูก

อย่างไรก็ตามโครงค้ำยันที่ประดิษฐ์ขึ้นนี้ยังมีข้อบกพร่องบางประการ เช่น การกระจายของไฮดรอกซิอะพาไทต์ที่ผนังของรูพูน และขนาดของรูพูนที่ได้ยังไม่สม่ำเสมอ อีกทั้งยังมีการพัฒนาต่อ สำหรับการขึ้นรูปโครงค้ำยันให้ได้ขนาดของรูพูนที่สม่ำเสมอหนึ่ง O'Brien และคณะ³⁴ รายงานว่าการลดอุณหภูมิแข็งในกระบวนการผลิตโครงค้ำยันให้คงที่จะทำให้ขนาดของรูพูนที่ได้สม่ำเสมอ ซึ่งคณะผู้วิจัยจะได้ทำการทดสอบ และพัฒนาโครงค้ำยันในระยะต่อไป

โครงค้ำยันที่สังเคราะห์จากคอลลาเจนที่ได้จากหนังสุกรผสมไฮดรอกซิอะพาไทต์ในการศึกษานี้ สามารถนำมาระบุรุต์ให้ในงานทางทันตกรรมได้หลายสาขา เช่น ศัลยกรรมปริทันต์ที่มีการระบุของกระดูก ศัลยกรรมกระดูกในขากรรไกร และใบหน้าจากสาเหตุอุบัติเหตุหรือการตัดเนื้องอกใช้ทดแทนกระดูกที่สูญเสียไปมากภายหลังจากการถอนฟันเพื่อคงสภาพของสันเหงือก งานทันตกรรมรากเทียม และงานรักษาคลองรากฟัน ซึ่งอาจนำมาใช้เป็นวัสดุกันรู เปิดปลายรากฟันที่เปิด

ก้างในการทำเอเพคซิฟิเคชัน (apexification) ก่อนทำการอุดด้วยมิเนอรัลไทรออกไซด์เอกกริกเกต หรือเอ็มทีเอ (Mineral Trioxide Aggregate; MTA) แทนการใช้แผ่นเยื่อคอลลาเจนซึ่งมีราคาแพง

สรุป

คอลลาเจนที่สกัดได้จากหนังสุกร เมื่อนำไปผสมกับไฮดรอกซิอะพาไทต์ สามารถนำไปผลิตเป็นโครงค้ำยันด้วยวิธีอบแห้งเยื่อคอลลาเจนโดยใช้สาร 1-เอทิล-3-(3-ไดเมทิลอะมิโน-โพรพิล)-คาร์บอไดโอดีร่วมกับเอ็นไฮดรอกซิซัคซินไมด์ เป็นตัวเชื่อมพันธะ โดยอัตราการเปลี่ยนแปลงอุณหภูมิในการแข็งมีผลต่อขนาดรูพูน

กิตติกรรมประกาศ

ขอขอบคุณ อาจารย์ไฟพรรณ พิทยานนท์ ที่ให้คำปรึกษาด้านสถิติ เจ้าหน้าที่ภาควิชาทันตแพทย์วิทยา ศูนย์วิจัยชีวิศวกรรมและทดสอบวัสดุทางการแพทย์ ศูนย์วิจัยทันตวัสดุและศูนย์วิจัยชีวิทยาช่องปาก คณะทันตแพทย์-ศาสตร์ จุฬาลงกรณ์มหาวิทยาลัย และศูนย์เครื่องมือวิจัยวิทยาศาสตร์และเทคโนโลยี จุฬาลงกรณ์มหาวิทยาลัย ที่ให้ความอนุเคราะห์และอำนวยความสะดวกในการใช้เครื่องมือ

เอกสารอ้างอิง

1. Karring T, Nyman S, Lindhe J. Healing following implantation of periodontitis affected roots into bone tissue. *J Clin Periodontol.* 1980;7:96–105.
2. Nyman S, Lindhe J, Karring T, Rylander H. New attachment following surgical treatment of human periodontal disease. *J Clin Periodontol.* 1982;9:290–6.
3. Rankow HJ, Krasner PR. Endodontic applications of guided tissue regeneration in endodontic surgery. *J Endod.* 1996;22:34–43.
4. Sharma B, Elisseeff JH. Engineering structurally organized cartilage and bone tissues. *Ann Biomed Eng.* 2004;32:148–59.
5. O'Brien FJ, Harley BA, Yannas IV, Gibson LJ. The effect of pore size on cell adhesion in collagen-GAG scaffolds. *Biomaterials.* 2005;26:

- 433–41.
6. Itala AI, Ylanen HO, Ekholm C, Karlsson KH, Aro HT. Pore diameter of more than 100 microm is not requisite for bone ingrowth in rabbits. *J Biomed Mater Res.* 2001;58:679–83.
 7. Lien SM, Ko LY, Huang TJ. Effect of pore size on ECM secretion and cell growth in gelatin scaffold for articular cartilage tissue engineering. *Acta Biomater.* 2009;5:670–9.
 8. Murphy CM, Haugh MG, O'Brien FJ. The effect of mean pore size on cell attachment, proliferation and migration in collagen–glycosaminoglycan scaffolds for bone tissue engineering. *Biomaterials.* 2010;31:461–6.
 9. Saber SE. Tissue engineering in endodontics. *J Oral Sci.* 2009;51:495–507.
 10. Badylak SF. The extracellular matrix as a biologic scaffold material. *Biomaterials.* 2007;28:3587–93.
 11. Yunoki S, Nagai N, Suzuki T, Munekata M. Novel biomaterial from reinforced salmon collagen gel prepared by fibril formation and cross-linking. *J Biosci Bioeng.* 2004;98:40–7.
 12. Patino MG, Neiders ME, Andreana S, Noble B, Cohen RE. Collagen as an implantable material in medicine and dentistry. *J Oral Implantol.* 2002; 28:220–5.
 13. Kanungo BP, Silva E, Van Vliet K, Gibson LJ. Characterization of mineralized collagen–glycosaminoglycan scaffolds for bone regeneration. *Acta Biomater.* 2008;4:490–503.
 14. Xu Y, Wu J, Guan J, Zhang X, Li Z, Wang P, et al. Physiochemical and biological properties of modified collagen sponge from porcine skin. *Journal of Wuhan University of Technology–Mater Sci Ed.* 2009;24:619–26.
 15. Yannas IV, Lee E, Orgill DP, Skrabut EM, Murphy GF. Synthesis and characterization of a model extracellular matrix that induces partial regeneration of adult mammalian skin. *Proc Natl Acad Sci U S A.* 1989;86:933–7.
 16. Park SN, Lee HJ, Lee KH, Suh H. Biological characterization of EDC-crosslinked collagen–hyaluronic acid matrix in dermal tissue restoration. *Biomaterials.* 2003;24:1631–41.
 17. DelBalso AM, Adrian JC. Collagen gel in osseous defects. A preliminary study. *Oral Surg Oral Med Oral Pathol.* 1976;42:562–9.
 18. Charulatha V, Rajaram A. Influence of different crosslinking treatments on the physical properties of collagen membranes. *Biomaterials.* 2003;24:759–67.
 19. Weadock KS, Miller EJ, Bellincampi LD, Zawadsky JP, Dunn MG. Physical crosslinking of collagen fibers: comparison of ultraviolet irradiation and dehydrothermal treatment. *J Biomed Mater Res.* 1995;29:1373–9.
 20. Jayakrishnan A, Jameela SR. Glutaraldehyde as a fixative in bioprostheses and drug delivery matrices. *Biomaterials.* 1996;17:471–84.
 21. Geiger M, Li RH, Friess W. Collagen sponges for bone regeneration with rhBMP-2. *Adv Drug Deliv Rev.* 2003;55:1613–29.
 22. Huang-Lee LL, Cheung DT, Nimni ME. Biochemical changes and cytotoxicity associated with the degradation of polymeric glutaraldehyde derived crosslinks. *J Biomed Mater Res.* 1990;24:1185–201.
 23. Pieper JS, Oosterhof A, Dijkstra PJ, Veerkamp JH, van Kuppevelt TH. Preparation and characterization of porous crosslinked collagenous matrices containing bioavailable chondroitin sulphate. *Biomaterials.* 1999;20:847–58.
 24. Wissink MJ, Beernink R, Pieper JS, Poot AA, Engbers GH, Beugeling T, et al. Immobilization of heparin to EDC/NHS-crosslinked collagen. Characterization and in vitro evaluation. *Biomaterials.* 2001;22:151–63.
 25. Lupi O. Prions in dermatology. *J Am Acad Dermatol.* 2002;46:790–3.
 26. Ikoma T, Kobayashi H, Tanaka J, Walsh D, Mann S. Physical properties of type I collagen extracted from fish scales of *Pagrus major* and *Oreochromis*

- niloticas. *Int J Biol Macromol.* 2003;32:199–204.
27. Angele P, Abke J, Kujat R, Faltermeier H, Schumann D, Nerlich M, et al. Influence of different collagen species on physico-chemical properties of crosslinked collagen matrices. *Biomaterials.* 2004;25:2831–41.
 28. Serre CM, Papillard M, Chavassieux P, Boivin G. In vitro induction of a calcifying matrix by biomaterials constituted of collagen and/or hydroxyapatite: an ultrastructural comparison of three types of biomaterials. *Biomaterials.* 1993;14: 97–106.
 29. Kokubo T, Kim HM, Kawashita M. Novel bioactive materials with different mechanical properties. *Biomaterials.* 2003;24:2161–75.
 30. Rodrigues CV, Serricella P, Linhares AB, Guerdes RM, Borojevic R, Rossi MA, et al. Characterization of a bovine collagen-hydroxyapatite composite scaffold for bone tissue engineering. *Biomaterials.* 2003;24:4987–97.
 31. Wu TJ, Huang HH, Lan CW, Lin CH, Hsu FY, Wang YJ. Studies on the microspheres comprised of reconstituted collagen and hydroxyapatite. *Biomaterials.* 2004;25:651–8.
 32. Hutmacher DW. Scaffolds in tissue engineering bone and cartilage. *Biomaterials.* 2000;21:2529–43.
 33. Wahl DA, Czernuszka JT. Collagen-hydroxyapatite composites for hard tissue repair. *Eur Cell Mater.* 2006;11:43–56.
 34. O'Brien FJ, Harley BA, Yannas IV, Gibson L. Influence of freezing rate on pore structure in freeze-dried collagen-GAG scaffolds. *Biomaterials.* 2004;25:1077–86.
 35. Rousseau CF, Gagnieu CH. In vitro cytocompatibility of porcine type I atelocollagen crosslinked by oxidized glycogen. *Biomaterials.* 2002;23:1503–10.
 36. Lynn AK, Yannas IV, Bonfield W. Antigenicity and immunogenicity of collagen. *J Biomed Mater Res B Appl Biomater.* 2004;71:343–54.
 37. Olde Damink LH, Dijkstra PJ, van Luyn MJ, van Wachem PB, Nieuwenhuis P, Feijen J. Cross-linking of dermal sheep collagen using a water-soluble carbodiimide. *Biomaterials.* 1996;17:765–73.
 38. van Wachem PB, van Luyn MJ, Olde Damink LH, Dijkstra PJ, Feijen J, Nieuwenhuis P. Tissue regenerating capacity of carbodiimide-crosslinked dermal sheep collagen during repair of the abdominal wall. *Int J Artif Organs.* 1994;17:230–9.
 39. Song JH, Kim HE, Kim HW. Collagen-apatite nanocomposite membranes for guided bone regeneration. *J Biomed Mater Res B Appl Biomater.* 2007;83:248–57.
 40. Mehlisch DR, Leider AS, Roberts WE. Histologic evaluation of the bone/graft interface after mandibular augmentation with hydroxylapatite/purified fibrillar collagen composite implants. *Oral Surg Oral Med Oral Pathol.* 1990;70:685–92.
 41. Tierney CM, Haugh MG, Liedl J, Mulcahy F, Hayes B, O'Brien FJ. The effects of collagen concentration and crosslink density on the biological, structural and mechanical properties of collagen-GAG scaffolds for bone tissue engineering. *J Mech Behav Biomed Mater.* 2009;2:202–9.
 42. Kang HW, Tabata Y, Ikada Y. Fabrication of porous gelatin scaffolds for tissue engineering. *Biomaterials.* 1999;20:1339–44.
 43. Oh SH, Park IK, Kim JM, Lee JH. In vitro and in vivo characteristics of PCL scaffolds with pore size gradient fabricated by a centrifugation method. *Biomaterials.* 2007;28:1664–71.

Fabrication and characterization of porcine collagen/hydroxyapatite scaffold

Sukuntha Phuaknapho D.D.S.¹

Chantavat Sutthiboonyan D.D.S., Cert. in Endodontics, M.S., Diplomate,
Thai Board of Endodontics²

Somporn Swasdison D.D.S., Cert. in Pathology, Ph.D.³

¹Graduate Student, Department of Operative Dentistry, Faculty of Dentistry, Chulalongkorn University

²Department of Operative Dentistry, Faculty of Dentistry, Chulalongkorn University

³Department of Oral Pathology, Faculty of Dentistry, Chulalongkorn University

Abstracts

Objective To fabricate and characterize collagen scaffolds from porcine skin collagen mixed with hydroxyapatite for using as scaffolds in guided bone regeneration.

Materials and methods The collagen used in this study was extracted from porcine skin by dissolving in acid-enzyme mixture and salt precipitation. Three different concentrations (1.5% 2% and 2.5% by weight) of the extracted collagen solutions were mixed with hydroxyapatite at the ratio of hydroxyapatite : collagen = 1:10 (weight/volume). The collagen-hydroxyapatite mixtures were fabricated to sponge-like scaffolds by 24-hour freeze drying method under 2 conditions, slow freezing and fast freezing. The fabricated scaffolds were then cross-linked to increase their stability. Ultrastructural characteristics of the scaffolds prepared by different conditions were studied using scanning electron microscopy. Determination of the scaffold pore sizes was performed under the light microscope and the data were statistically analyzed.

Results All collagen/hydroxyapatite scaffolds fabricated in this study were sponge-like, soft, white, odorless and easily dissolved in water. Cross-linking of these scaffolds helped increasing their stability. These scaffolds were porous under scanning electron microscopic observation. The walls of the pores were made up of interconnecting sheaths of tightly packed collagen fibers with hydroxyapatite crystals decorated at the surface. The pore sizes of scaffolds prepared from different collagen concentrations were not statistically different ($p > 0.05$) while the pore sizes of the scaffolds prepared under different freezing conditions were statistically different ($p < 0.05$). The scaffolds prepared under slow freezing condition had larger pore sizes than those prepared under fast freezing condition.

Conclusion Porcine skin collagen mixed with hydroxyapatite can be fabricated to porous scaffold by freeze drying and cross-linking techniques. The morphological characteristics and the pore sizes of scaffolds were related to the rate of freezing condition but not to collagen concentration.

(CU Dent J. 2012;35:1-14)

Key words: hydroxyapatite; porcine skin collagen; scaffold; tissue engineering